

Limites fluides de quelques échantillonneurs MCMC

- ▶ Gersende FORT, LTCI - CNRS / Télécom Paris .

Travail en collaboration

- ▶ Sean MEYN, (Université de l'Illinois, USA),
- ▶ Eric MOULINES, (ENST),
- ▶ Pierre PRIOURET, (Université Paris VI).

Limites fluides en file d'attente (i) _____

- ▶ Newell (82), Cruz (91), Chen & Mandelbaum (91).
- ▶ Exemple : File M/M/1

$$X(t; x) = x + \mathcal{N}_\lambda([0, t]) - \int_0^t \mathbb{I}_{X(s^-, x) > 0} \mathcal{N}_\mu(ds)$$

Limites fluides en file d'attente (i) _____

- ▶ Newell (82), Cruz (91), Chen & Mandelbaum (91).
- ▶ Exemple : File M/M/1

$$X(t; x) = x + \mathcal{N}_\lambda([0, t]) - \int_0^t \mathbb{I}_{X(s^-, x) > 0} \mathcal{N}_\mu(ds)$$

soit encore

$$\begin{aligned} X(t; x) &= x + (\lambda - \mu)t + (\mathcal{N}_\lambda([0, t]) - \lambda t) \\ &\quad - \int_0^t \mathbb{I}_{X(s^-, x) > 0} (\mathcal{N}_\mu(ds) - \mu ds) + \mu \int_0^t \mathbb{I}_{X(s^-, x) = 0} ds \\ &= x + (\lambda - \mu)t + M_t + R_t \end{aligned}$$

Limites fluides en file d'attente (i) _____

- ▶ Newell (82), Cruz (91), Chen & Mandelbaum (91).
- ▶ Exemple : File M/M/1

$$X(t; x) = x + \mathcal{N}_\lambda([0, t]) - \int_0^t \mathbb{I}_{X(s^-, x) > 0} \mathcal{N}_\mu(ds)$$

soit encore

$$\begin{aligned} X(t; x) &= x + (\lambda - \mu)t + (\mathcal{N}_\lambda([0, t]) - \lambda t) \\ &\quad - \int_0^t \mathbb{I}_{X(s^-, x) > 0} (\mathcal{N}_\mu(ds) - \mu ds) + \mu \int_0^t \mathbb{I}_{X(s^-, x) = 0} ds \\ &= x + (\lambda - \mu)t + M_t + R_t \end{aligned}$$

Processus normalisé :

$$\eta_r(t; x) = \frac{1}{r} X(rt; rx) \qquad \eta_r(0; x) = x,$$

$$\eta_r(t; x) = x + (\lambda - \mu)t + \frac{1}{r} M_{rt} + \frac{1}{r} R_{rt}$$

Limites fluides en file d'attente (i) _____

- ▶ Newell (82), Cruz (91), Chen & Mandelbaum (91).
- ▶ Exemple : File M/M/1

$$X(t; x) = x + \mathcal{N}_\lambda([0, t]) - \int_0^t \mathbb{I}_{X(s^-, x) > 0} \mathcal{N}_\mu(ds)$$

soit encore

$$\begin{aligned} X(t; x) &= x + (\lambda - \mu)t + (\mathcal{N}_\lambda([0, t]) - \lambda t) \\ &\quad - \int_0^t \mathbb{I}_{X(s^-, x) > 0} (\mathcal{N}_\mu(ds) - \mu ds) + \mu \int_0^t \mathbb{I}_{X(s^-, x) = 0} ds \\ &= x + (\lambda - \mu)t + M_t + R_t \end{aligned}$$

Processus normalisé :

$$\eta_r(t; x) = \frac{1}{r} X(rt; rx) \qquad \eta_r(0; x) = x,$$

$$\eta_r(t; x) = x + (\lambda - \mu)t + \frac{1}{r} M_{rt} + \frac{1}{r} R_{rt}$$

Passage à la limite : $\quad \hookrightarrow \quad (x + (\lambda - \mu)t)^+.$

Limites fluides en file d'attente (ii) _____

- ▶ Lien entre stabilité des limites fluides et stabilité des Chaînes de Markov :
 - ▶ Malysev & Mensikov (79), Dai (95). Puis Meyn & Tweedie (93, 94).
 - ▶ Exemple (suite) :
 - $\eta(t; x) = (x + (\lambda - \mu)t)^+$.
 - Stabilité du processus limite :
$$\lambda - \mu < 0.$$

Limites fluides en file d'attente (ii) _____

- ▶ Lien entre stabilité des limites fluides et stabilité des Chaînes de Markov :

- ▶ Malysev & Mensikov (79), Dai (95). Puis Meyn & Tweedie (93, 94).

- ▶ Exemple (suite) :

- $\eta(t; x) = (x + (\lambda - \mu)t)^+$.

- Stabilité du processus limite :

$$\lambda - \mu < 0.$$

- ▶ Littérature :

- ▶ P. Robert (2000) *Réseaux et Files d'attente : méthodes probabilistes*; Springer.

- ▶ S. Meyn (2007) *Control Techniques for Complex Networks*; Cambridge University Press

Processus normalisé d'une Chaîne de Markov _____

Soit $(\Phi_k)_{k \geq 0}$ une chaîne de Markov

On définit le processus normalisé :

$$\eta_r(t; x) = \frac{1}{r} \Phi_{\lfloor tr \rfloor} \quad \eta_r(0; x) = \frac{1}{r} \Phi_0 = x.$$

- constant par morceaux : vaut $r^{-1} \Phi_k$ sur les intervalles $[\frac{k}{r}; \frac{(k+1)}{r}[$
- continu à droite, limité à gauche.

Processus normalisé d'une Chaîne de Markov _____

Soit $(\Phi_k)_{k \geq 0}$ une chaîne de Markov

On définit le processus normalisé :

$$\eta_r(t; x) = \frac{1}{r} \Phi_{\lfloor tr \rfloor} \quad \eta_r(0; x) = \frac{1}{r} \Phi_0 = x.$$

- constant par morceaux : vaut $r^{-1} \Phi_k$ sur les intervalles $[\frac{k}{r}; \frac{(k+1)}{r}[$
- continu à droite, limité à gauche.

1. Quand $r \rightarrow +\infty$, convergence étroite des lois des processus $(\eta_r(\cdot, x))_{r \geq 0} \rightsquigarrow$ Existence de la limite fluide
2. Caractérisation de la limite fluide
3. Qu'en déduit-on pour la chaîne initiale ?

Recherche motivée par l'étude des chaînes de Markov issues des échantillonneurs par Chaînes de Markov.

Plan

1. Introduction

- ▶ Méthodes Monte Carlo Markov Chain et algorithmes de Metropolis-Hastings.

Plan

1. Introduction

- ▶ Méthodes Monte Carlo Markov Chain et algorithmes de Metropolis-Hastings.

2. Existence de limites fluides (I) : renormalisation en espace et en temps.

3. Existence de limites fluides (II) : renormalisation en temps, plus “rapide” qu’en espace.

Plan

1. Introduction

- ▶ Méthodes Monte Carlo Markov Chain et algorithmes de Metropolis-Hastings.

2. Existence de limites fluides (I) : renormalisation en espace et en temps.

3. Existence de limites fluides (II) : renormalisation en temps, plus “rapide” qu’en espace.

4. Caractérisation des limites fluides.

Plan

1. Introduction

- ▶ Méthodes Monte Carlo Markov Chain et algorithmes de Metropolis-Hastings.

2. Existence de limites fluides (I) : renormalisation en espace et en temps.
3. Existence de limites fluides (II) : renormalisation en temps, plus “rapide” qu’en espace.
4. Caractérisation des limites fluides.
5. Stabilité des limites fluides et Stabilité des chaînes de Markov.
6. Conclusion et perspectives.

I-1. Echantillonneurs MCMC type Metropolis-Hastings —

↪ Simuler des v.a. de loi π , densité sur \mathbb{R}^d

- Algorithme de Metropolis-Hastings : $\{\Phi_t\}_t$ selon $\Phi_t \longrightarrow \Phi_{t+1}$
- $\Phi_{t+1/2} \sim q(\Phi_t, \cdot)$.
 - $\Phi_{t+1} = \begin{cases} \Phi_{t+1/2} & \text{avec proba } \alpha(\Phi_t, \Phi_{t+1/2}) \\ \Phi_t & \text{avec proba } 1 - \alpha(\Phi_t, \Phi_{t+1/2}) \end{cases}$,

où le ratio d'acceptation-rejet est donné par

$$\alpha(x, z) = 1 \wedge \frac{\pi(z)q(z, x)}{\pi(x)q(x, z)}.$$

I-1. Echantillonneurs MCMC type Metropolis-Hastings —

↪ Simuler des v.a. de loi π , densité sur \mathbb{R}^d

► Algorithme de Metropolis-Hastings : $\{\Phi_t\}_t$ selon $\Phi_t \longrightarrow \Phi_{t+1}$

$$\begin{aligned} & \cdot \Phi_{t+1/2} \sim q(\Phi_t, \cdot). \\ & \cdot \Phi_{t+1} = \begin{cases} \Phi_{t+1/2} & \text{avec proba } \alpha(\Phi_t, \Phi_{t+1/2}) \\ \Phi_t & \text{avec proba } 1 - \alpha(\Phi_t, \Phi_{t+1/2}) \end{cases} \end{aligned}$$

où le ratio d'acceptation-rejet est donné par

$$\alpha(x, z) = 1 \wedge \frac{\pi(z)q(z, x)}{\pi(x)q(x, z)}.$$

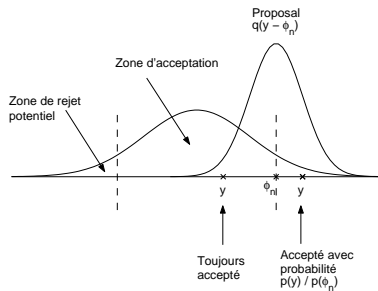
► MH à marche aléatoire symétrique

$$q(x; z) = q(z - x), \quad q(x - z) = q(z - x).$$

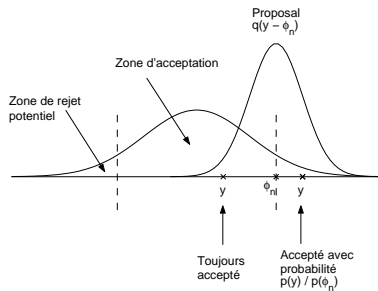
si bien que

$$\alpha(x, z) = 1 \wedge \frac{\pi(z)}{\pi(x)}.$$

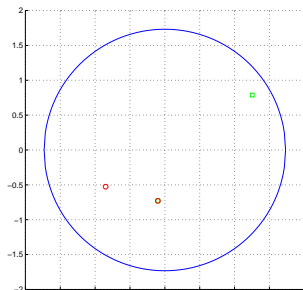
I-1 (suite)



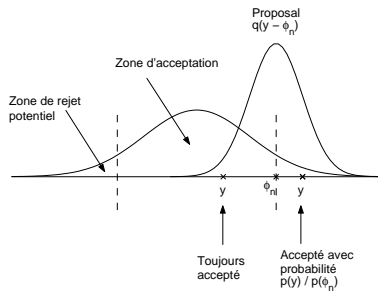
I-1 (suite)



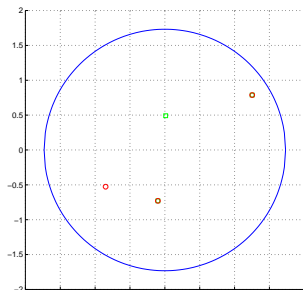
1, 2



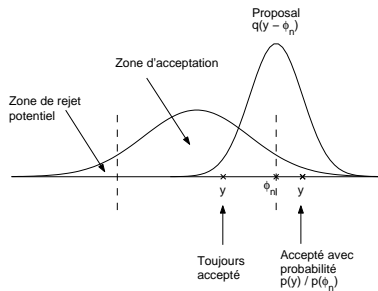
I-1 (suite)



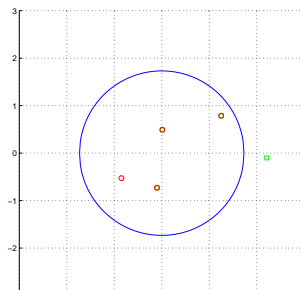
1, 2, 3



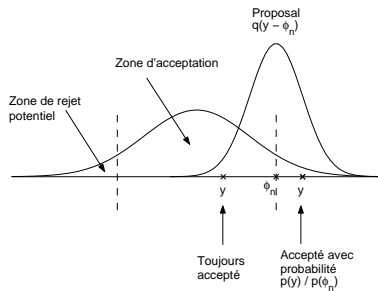
I-1 (suite)



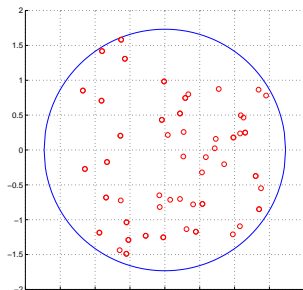
1, 2, 3, 4



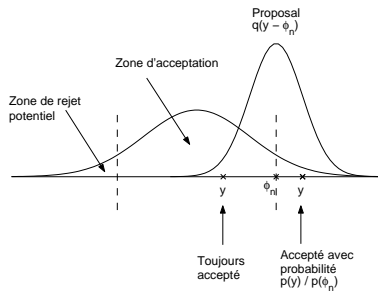
I-1 (suite)



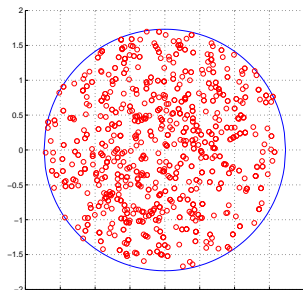
1, 2, 3, 4, 100



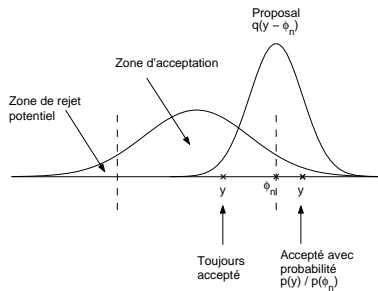
I-1 (suite)



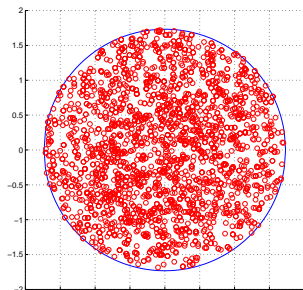
1, 2, 3, 4, 100, 1000



I-1 (suite)



1, 2, 3, 4, 100, 1000, 3000



I-2 Etude des échantillonneurs MCMC _____

Par ex.

$$\mathbb{E}_\pi [f(\Phi_0)] \sim \frac{1}{N} \sum_{k=1}^N f(\Phi_k).$$

↪ Objet de l'étude

- ▶ Etude de la convergence des algorithmes : *conditions suffisantes* pour
 - l'ergodicité des chaînes de Markov,
 - contrôle de convergence,
 - théorèmes limites.

I-2 Etude des échantillonneurs MCMC _____

Par ex.

$$\mathbb{E}_\pi [f(\Phi_0)] \sim \frac{1}{N} \sum_{k=1}^N f(\Phi_k).$$

↪ Objet de l'étude

- ▶ Etude de la convergence des algorithmes : *conditions suffisantes* pour
 - l'ergodicité des chaînes de Markov,
 - contrôle de convergence,
 - théorèmes limites.
- ▶ Choix des paramètres de mise en oeuvre :
 - choix de la loi de proposition q (par ex. par des méthodes adaptatives).

I-2 Etude des échantillonneurs MCMC _____

Par ex.

$$\mathbb{E}_\pi [f(\Phi_0)] \sim \frac{1}{N} \sum_{k=1}^N f(\Phi_k).$$

↪ **Objet de l'étude**

- ▶ Etude de la convergence des algorithmes : *conditions suffisantes* pour
 - l'ergodicité des chaînes de Markov,
 - contrôle de convergence,
 - théorèmes limites.
- ▶ Choix des paramètres de mise en oeuvre :
 - choix de la loi de proposition q (par ex. par des méthodes adaptatives).

↪ **Techniques classiques**

- ▶ Méthodes de "drift" (cf. partie V)

$$\mathbb{E}_x [V(\Phi_1)] \leq V(x) - \phi \circ V(x) + b\mathbb{1}_C(x),$$

dont la vérification nécessite des hyp. contraignantes sur π .

↪ **Nouvelle technique : limites fluides.**

II. Définition / Existence des Limites Fluides _____

Soit

$\{\Phi_k\}_k$ une chaîne de Markov,
à valeur dans $(X, \mathcal{B}(X))$.

↪ Construction d'un processus normalisé

(i) en le point initial

$$\eta_r(0; x) = \frac{1}{r} \Phi_0 = x, \quad \Phi_0 = rx.$$

II. Définition / Existence des Limites Fluides _____

Soit

$\{\Phi_k\}_k$ une chaîne de Markov,
à valeur dans $(X, \mathcal{B}(X))$.

↪ Construction d'un processus normalisé

(i) en le point initial

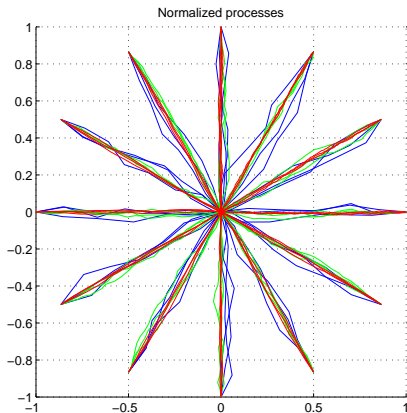
$$\eta_r(0; x) = \frac{1}{r} \Phi_0 = x, \quad \Phi_0 = rx.$$

(ii) en temps et en espace

$$\eta_r(t; x) = \frac{1}{r} \Phi_{[tr]},$$

$$\eta_r(t; x) = \frac{1}{r} \Phi_k \quad \text{sur l'intervalle } \left[\frac{k}{r}; \frac{(k+1)}{r} \right).$$

II-1. Influence de r ---



$$\pi(x, y) \propto (1 + x^2 + y^2 + x^8 y^2) \exp(-(x^2 + y^2)) \quad q \sim \mathcal{N}(0, 4Id)$$

$t \mapsto \eta_r(t; x)$, aux points $t_q = q/r$, pour différentes valeurs initiales x sur la sphère unité et $r = 500$, 2000 et 10000

II-2. Définition ---

- $\eta_r(\cdot; x)$ est continue à droite, limité à gauche; $\eta_r(0, x) = x.$
- \mathbb{P}_x : loi de la chaîne, de loi initiale δ_x .
 - $\mathbb{Q}_{r;x}$: loi image par $\eta_r(\cdot; x)$ proba. sur l'espace des fonctions cadlag $\mathbb{R}^+ \rightarrow X$.

II-2. Définition ---

- $\eta_r(\cdot; x)$ est continue à droite, limité à gauche; $\eta_r(0, x) = x$.
- \mathbb{P}_x : loi de la chaîne, de loi initiale δ_x .
 - $\mathbb{Q}_{r;x}$: loi image par $\eta_r(\cdot; x)$ proba. sur l'espace des fonctions cadlag $\mathbb{R}^+ \rightarrow X$.

► **Définition** : \mathbb{Q}_x est une **limite fluide** si il existe $\{r_n\}_n \rightarrow +\infty$, $\{x_n\}_n \rightarrow x$ tels que

$$\mathbb{Q}_{r_n;x_n} \Longrightarrow \mathbb{Q}_x$$

- convergence étroite
- probabilités sur l'espace des fonctions cadlag $\mathbb{R}^+ \rightarrow X$.

II-3. Théorème d'existence _____

$$\Phi_{k+1} = \Phi_k + \mathbb{E}[\Phi_{k+1}|\mathcal{F}_k] - \Phi_k + \Phi_{k+1} - \mathbb{E}[\Phi_{k+1}|\mathcal{F}_k]$$

II-3. Théorème d'existence _____

$$\begin{aligned}\Phi_{k+1} &= \Phi_k + \mathbb{E}[\Phi_{k+1}|\mathcal{F}_k] - \Phi_k + \Phi_{k+1} - \mathbb{E}[\Phi_{k+1}|\mathcal{F}_k] \\ &= \Phi_k + \underbrace{\mathbb{E}_x[\Phi_{k+1} - \Phi_k|\mathcal{F}_k]}_{\Delta(\Phi_k)} + \underbrace{(\Phi_{k+1} - \mathbb{E}_x[\Phi_{k+1}|\mathcal{F}_k])}_{\epsilon_{k+1} \quad \text{incrément de martingale}}.\end{aligned}$$

II-3. Théorème d'existence _____

$$\begin{aligned}\Phi_{k+1} &= \Phi_k + \mathbb{E}[\Phi_{k+1}|\mathcal{F}_k] - \Phi_k + \Phi_{k+1} - \mathbb{E}[\Phi_{k+1}|\mathcal{F}_k] \\ &= \Phi_k + \underbrace{\mathbb{E}_x[\Phi_{k+1} - \Phi_k|\mathcal{F}_k]}_{\Delta(\Phi_k)} + \underbrace{(\Phi_{k+1} - \mathbb{E}_x[\Phi_{k+1}|\mathcal{F}_k])}_{\epsilon_{k+1} \quad \text{incrément de martingale}}.\end{aligned}$$

► Théorème

Si

- $\exists p > 1, \quad \lim_{K \rightarrow +\infty} \sup_{x \in X} \mathbb{E}_x [|\epsilon_1|^p \mathbf{1}_{|\epsilon_1| > K}] \rightarrow 0.$
- $\sup_{x \in X} |\Delta(x)| < \infty.$

II-3. Théorème d'existence _____

$$\begin{aligned}\Phi_{k+1} &= \Phi_k + \mathbb{E}[\Phi_{k+1}|\mathcal{F}_k] - \Phi_k + \Phi_{k+1} - \mathbb{E}[\Phi_{k+1}|\mathcal{F}_k] \\ &= \Phi_k + \underbrace{\mathbb{E}_x[\Phi_{k+1} - \Phi_k|\mathcal{F}_k]}_{\Delta(\Phi_k)} + \underbrace{(\Phi_{k+1} - \mathbb{E}_x[\Phi_{k+1}|\mathcal{F}_k])}_{\epsilon_{k+1} \text{ incrément de martingale}}.\end{aligned}$$

► Théorème

Si

- $\exists p > 1, \quad \lim_{K \rightarrow +\infty} \sup_{x \in X} \mathbb{E}_x [|\epsilon_1|^p \mathbf{1}_{|\epsilon_1| > K}] \rightarrow 0.$
- $\sup_{x \in X} |\Delta(x)| < \infty.$

Alors pour toutes suites $\{r_n\}_n \rightarrow +\infty, \{x_n\}_n \rightarrow x,$

- il existe $\{r_{n_j}\}_j \rightarrow +\infty, \{x_{n_j}\}_j \rightarrow x$
- et \mathbb{Q}_x , proba sur l'espace des fonctions continues : $\mathbb{R}^+ \rightarrow X$ telles que

$$\mathbb{Q}_{r_n; x_n} \implies \mathbb{Q}_x.$$

II-4. Etapes de démonstration _____

1. Il faut montrer que $\{\mathbb{Q}_{r_n; x_n}\}_n$ est relativement compacte.
2. Par le théorème de Prohorov, il suffit que $\{\mathbb{Q}_{r_n; x_n}\}_n$ soit *tight*.
3. Vérifié si

$$\lim_{a \rightarrow \infty} \limsup_n \mathbb{Q}_{r_n; x_n} (|\eta(0)| > a) = 0,$$

$$\forall T > 0, \lim_{a \rightarrow \infty} \limsup_n \mathbb{Q}_{r_n; x_n} \left(\eta, \sup_{t \in [0, T]} |\eta(t) - \eta(t^-)| > a \right) = 0,$$

$$\forall T, \epsilon > 0, \lim_{\delta \rightarrow 0} \limsup_n \mathbb{Q}_{r_n; x_n} (\eta, \omega(\eta, \delta) \geq \epsilon) = 0.$$

II-5. Application : MH à marche aléatoire symétrique —

$$\Phi_{k+1} = \Phi_k + \begin{cases} Y_{k+1} & \text{avec proba } 1 \wedge \frac{\pi(\Phi_k + Y_{k+1})}{\pi(\Phi_k)} \\ 0 & \text{avec proba } 1 - 1 \wedge \frac{\pi(\Phi_k + Y_{k+1})}{\pi(\Phi_k)}, \end{cases}$$

où $Y_{k+1} \sim q(\cdot)$.

► Moment : de l'incrément de martingale \longleftrightarrow de la loi de proposition

$$\mathbb{E}_x [|\epsilon_1|^p \mathbb{1}_{|\epsilon_1| > K}] \leq 2^p \int |y|^p \mathbf{1}_{|y| \geq K - m_q} q(y) \lambda(dy) \quad m_q = \int |y| q(y) \lambda(dy).$$

II-5. Application : MH à marche aléatoire symétrique —

$$\Phi_{k+1} = \Phi_k + \begin{cases} Y_{k+1} & \text{avec proba } 1 \wedge \frac{\pi(\Phi_k + Y_{k+1})}{\pi(\Phi_k)} \\ 0 & \text{avec proba } 1 - 1 \wedge \frac{\pi(\Phi_k + Y_{k+1})}{\pi(\Phi_k)}, \end{cases}$$

où $Y_{k+1} \sim q(\cdot)$.

► Moment : de l'incrément de martingale \longleftrightarrow de la loi de proposition

$$\mathbb{E}_x [|\epsilon_1|^p \mathbb{1}_{|\epsilon_1| > K}] \leq 2^p \int |y|^p \mathbf{1}_{|y| \geq K - m_q} q(y) \lambda(dy) \quad m_q = \int |y| q(y) \lambda(dy).$$

► Accroissement moyen $\Delta(x)$ borné

$$\Delta(x) = - \int_{\{y, \pi(x+y) \leq \pi(x)\}} y \left(1 - \frac{\pi(x+y)}{\pi(x)} \right) q(y) \lambda(dy),$$

i.e. dès que $m_q = \int |y| q(y) \lambda(dy) < \infty$.

II-5. Application : MH à marche aléatoire symétrique

$$\Phi_{k+1} = \Phi_k + \begin{cases} Y_{k+1} & \text{avec proba } 1 \wedge \frac{\pi(\Phi_k + Y_{k+1})}{\pi(\Phi_k)} \\ 0 & \text{avec proba } 1 - 1 \wedge \frac{\pi(\Phi_k + Y_{k+1})}{\pi(\Phi_k)}, \end{cases}$$

où $Y_{k+1} \sim q(\cdot)$.

► Moment : de l'incrément de martingale \longleftrightarrow de la loi de proposition

$$\mathbb{E}_x [|\epsilon_1|^p \mathbb{1}_{|\epsilon_1| > K}] \leq 2^p \int |y|^p \mathbf{1}_{|y| \geq K - m_q} q(y) \lambda(dy) \quad m_q = \int |y| q(y) \lambda(dy).$$

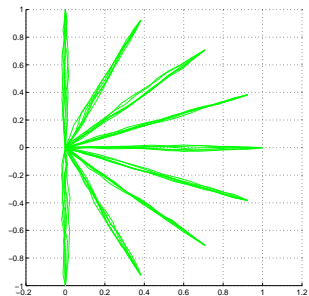
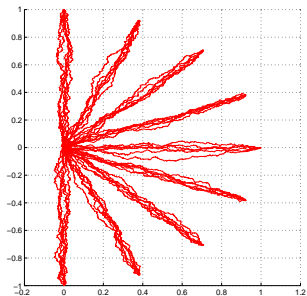
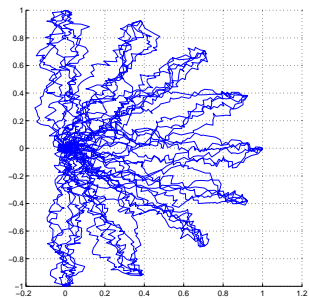
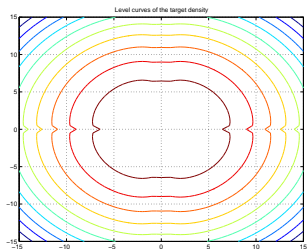
► Accroissement moyen $\Delta(x)$ borné

$$\Delta(x) = - \int_{\{y, \pi(x+y) \leq \pi(x)\}} y \left(1 - \frac{\pi(x+y)}{\pi(x)} \right) q(y) \lambda(dy),$$

i.e. dès que $m_q = \int |y| q(y) \lambda(dy) < \infty$.

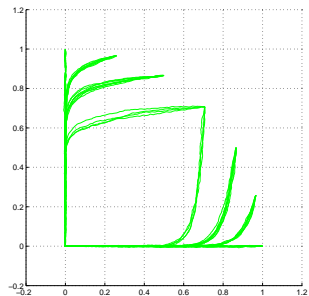
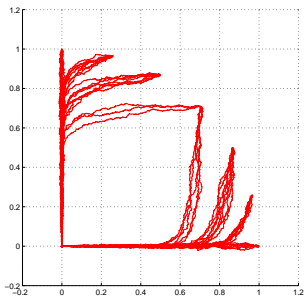
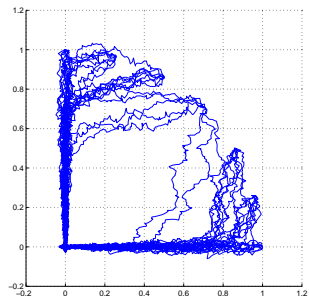
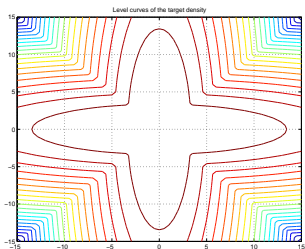
Il suffit : moments de la loi de proposition.

II-6a. Exemple 1 : (cas régulier, $\beta = 0$)



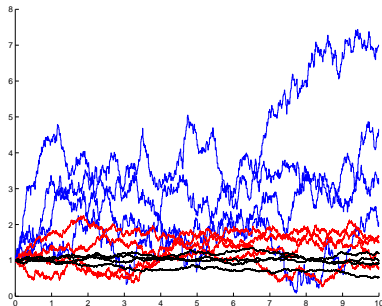
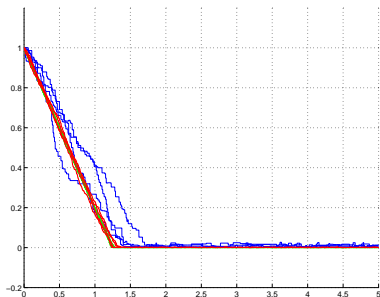
$$\pi(x, y) \propto (1 + x^2 + y^2 + x^8 y^2) \exp(-(x^2 + y^2)), \quad q \sim \mathcal{N}(0, 4Id), \quad r=100, r=1000, r=5000$$

II-6b. Exemple 2 : (cas irrégulier, $\beta = 0$)



$$\pi(x, y) \propto \mathcal{N}(0, \Gamma_1^{-1}) + \mathcal{N}(0, \Gamma_2^{-1}), \quad q \sim \mathcal{N}(0, Id), \quad r=100, r=1000, r=5000$$

II-6c. Exemple 3 : (normalisation inadaptée) _____



$$\pi(x, y) \propto (1 + x^2 + y^2 + x^8 y^2) \exp(-(x^2 + y^2)),$$

$$\pi(x, y) \propto (1 + x^2 + y^2 + x^8 y^2)^{0.1} \exp(-(x^2 + y^2)^{0.1}),$$

$$q \sim \mathcal{N}(0, \sigma^2), \quad r=100, r=1000, r=5000, r=10\,000 \quad T=5$$

↪ Changement d'échelle : disymétrie temps / espace.

III-1. Disymétrie temps / espace _____

↔ Construction d'un processus normalisé, $\beta > 0$,

(i) en le point initial

$$\eta_r^\beta(0; x) = \frac{1}{r} \Phi_0 = x, \quad \Phi_0 = rx.$$

III-1. Disymétrie temps / espace _____

↪ Construction d'un processus normalisé, $\beta > 0$,

(i) en le point initial

$$\eta_r^\beta(0; x) = \frac{1}{r} \Phi_0 = x, \quad \Phi_0 = rx.$$

(ii) en temps et en espace

$$\eta_r^\beta(t; x) = \frac{1}{r} \Phi_{\lfloor tr^{1+\beta} \rfloor},$$

$$\eta_r^\beta(t; x) = \frac{1}{r} \Phi_k \quad \text{sur l'intervalle} \left[\frac{k}{r^{1+\beta}}; \frac{(k+1)}{r^{1+\beta}} \right).$$

On note $\mathbb{Q}_{r;x}^\beta$ l'image de \mathbb{P}_x par $\eta_r^\beta(\cdot; x)$.

III-2. Existence de la β -limite fluide _____

$$\Phi_{k+1} = \Phi_k + \underbrace{(\mathbb{E}_x [\Phi_{k+1} | \mathcal{F}_k] - \Phi_k)}_{\Delta(\Phi_k)} + \underbrace{(\Phi_{k+1} - \mathbb{E}_x [\Phi_{k+1} | \mathcal{F}_k])}_{\epsilon_{k+1} \text{ incrément de martingale}}$$

► Théorème

Si

- $\exists p > 1, \sup_{x \in X} \mathbb{E}_x [|\epsilon_1|^p \mathbb{I}_{|\epsilon_1| > K}] \rightarrow 0, K \rightarrow +\infty.$
- $\exists 0 < \beta < 1 \wedge (p - 1), \sup_{x \in X} (1 + |x|^\beta) |\Delta(x)| < \infty.$

III-2. Existence de la β -limite fluide _____

$$\Phi_{k+1} = \Phi_k + \underbrace{(\mathbb{E}_x [\Phi_{k+1} | \mathcal{F}_k] - \Phi_k)}_{\Delta(\Phi_k)} + \underbrace{(\Phi_{k+1} - \mathbb{E}_x [\Phi_{k+1} | \mathcal{F}_k])}_{\epsilon_{k+1} \text{ incrément de martingale}}$$

► Théorème

Si

- $\exists p > 1, \sup_{x \in X} \mathbb{E}_x [|\epsilon_1|^p \mathbb{I}_{|\epsilon_1| > K}] \rightarrow 0, K \rightarrow +\infty.$
- $\exists 0 < \beta < 1 \wedge (p-1), \sup_{x \in X} (1 + |x|^\beta) |\Delta(x)| < \infty.$

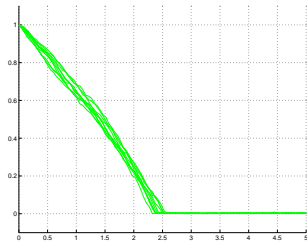
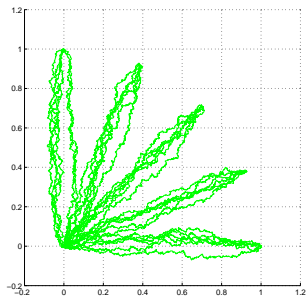
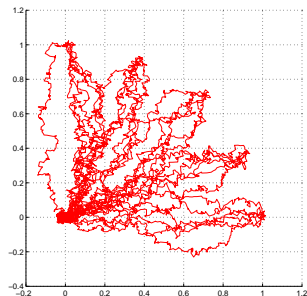
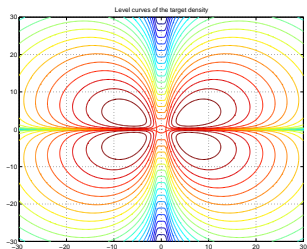
Alors pour tout $0 \leq \alpha \leq \beta$, et toutes suites $\{r_n\}_n \rightarrow +\infty, \{x_n\}_n \rightarrow x$,

- il existe $\{r_{n_j}\}_j \rightarrow +\infty, \{x_{n_j}\}_j \rightarrow x$
- et \mathbb{Q}_x^α , proba sur l'espace des fonctions continues : $\mathbb{R}^+ \rightarrow X$ telles que

$$\mathbb{Q}_{r_n; x_n}^\alpha \implies \mathbb{Q}_x^\alpha.$$

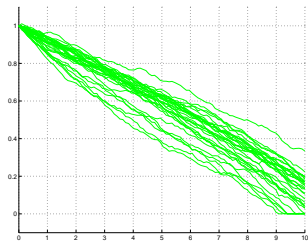
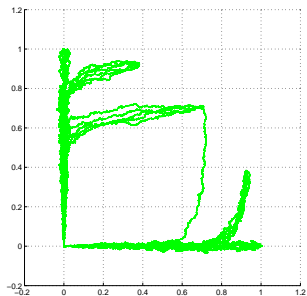
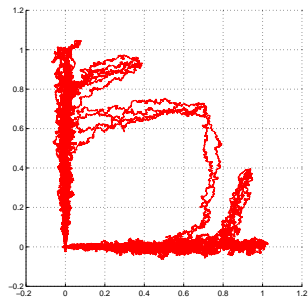
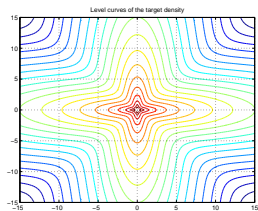
Et pour $0 \leq \alpha < \beta, \mathbb{Q}_x^\alpha = \delta_x.$

III-3a. Exemple 1 : cas régulier, $\beta > 0$



$$\pi(x, y) \propto (1 + x^2 + y^2 + x^8 y^2)^{0.4} \exp(-(x^2 + y^2)^{0.4}), \quad q \sim \mathcal{N}(0, \text{Id}), \quad r=1000, r=5000 \quad T=5$$

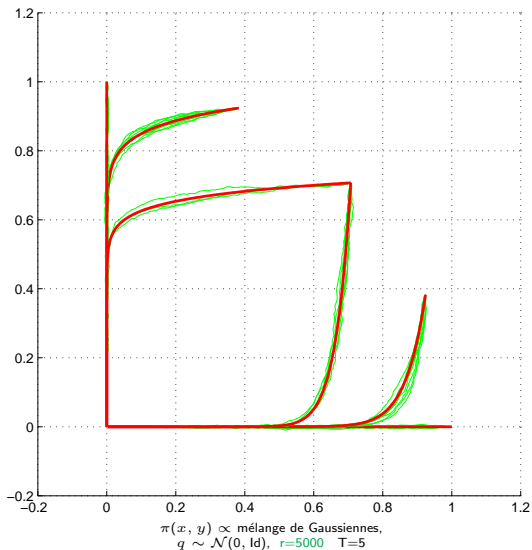
III-3b. Exemple 2 : cas irrégulier, $\beta > 0$



$\pi(x, y) \propto$ mélange de Weibull, $q \sim \mathcal{N}(0, 1.5^2 \text{Id})$, $r=1000$, $r=5000$ T=10

IV. Caractérisation de la Limite Fluide

↪ Peut-on décrire le support de la limite fluide \mathbb{Q}_x^β ?



IV-1. L'idée ...

$$\Phi_{k+1} = \Phi_k + \underbrace{(\mathbb{E}_x [\Phi_{k+1} | \mathcal{F}_k] - \Phi_k)}_{\Delta(\Phi_k)} + \underbrace{(\Phi_{k+1} - \mathbb{E}_x [\Phi_{k+1} | \mathcal{F}_k])}_{\epsilon_{k+1} \text{ incrément de martingale}}$$

► Pour le processus normalisé : cas $\beta = 0$

$$\begin{aligned}\eta_r \left[\frac{k+1}{r}, x \right] &= \frac{1}{r} \Phi_{k+1} \\ &= \eta_r \left[\frac{k}{r}, x \right] + \frac{1}{r} \Delta \left(r \eta_r \left[\frac{k}{r}, x \right] \right) + \frac{1}{r} \epsilon_{k+1} \\ &= \eta_r \left[\frac{k}{r}, x \right] + \frac{1}{r} h \left(\eta_r \left[\frac{k}{r}, x \right] \right) + \frac{1}{r} (\xi_k + \epsilon_{k+1})\end{aligned}$$

en ayant posé

$$h(x) = \lim_{r \rightarrow +\infty} \Delta(r x).$$

IV-1. L'idée ...

$$\Phi_{k+1} = \Phi_k + \underbrace{(\mathbb{E}_x [\Phi_{k+1} | \mathcal{F}_k] - \Phi_k)}_{\Delta(\Phi_k)} + \underbrace{(\Phi_{k+1} - \mathbb{E}_x [\Phi_{k+1} | \mathcal{F}_k])}_{\epsilon_{k+1} \text{ incrément de martingale}}$$

► Pour le processus normalisé : cas $\beta = 0$

$$\begin{aligned}\eta_r \left[\frac{k+1}{r}, x \right] &= \frac{1}{r} \Phi_{k+1} \\ &= \eta_r \left[\frac{k}{r}, x \right] + \frac{1}{r} \Delta \left(r \eta_r \left[\frac{k}{r}, x \right] \right) + \frac{1}{r} \epsilon_{k+1} \\ &= \eta_r \left[\frac{k}{r}, x \right] + \frac{1}{r} h \left(\eta_r \left[\frac{k}{r}, x \right] \right) + \frac{1}{r} (\xi_k + \epsilon_{k+1})\end{aligned}$$

en ayant posé

$$h(x) = \lim_{r \rightarrow +\infty} \Delta(r x).$$

► Ainsi **version bruitée de**

$$\mu \left(\frac{k+1}{r} \right) = \mu \left(\frac{k}{r} \right) + \frac{1}{r} h \left(\mu \left(\frac{k}{r} \right) \right) \longleftrightarrow \text{ODE : } \dot{\mu}(t) = h(\mu(t))$$

IV-2. Caractérisation ---

► Théorème

Si

- C.S. existence de la limite fluide.
- il existe un cône ouvert O de $X \setminus \{0\}$,
- $h : O \rightarrow X$ telle que

$$\sup_{x \in H} |r^\beta \Delta(rx) - |x|^{-\beta} h(x)| \rightarrow 0, \quad r \rightarrow +\infty,$$

pour tout compact $H \subseteq O$

IV-2. Caractérisation ---

► Théorème

Si

- C.S. existence de la limite fluide.
- il existe un cône ouvert O de $X \setminus \{0\}$,
- $h : O \rightarrow X$ telle que

$$\sup_{x \in H} |r^\beta \Delta(rx) - |x|^{-\beta} h(x)| \rightarrow 0, \quad r \rightarrow +\infty,$$

pour tout compact $H \subseteq O$

Alors pour tout $0 \leq s \leq t$, sur $\{\eta, \eta(u) \in O, s \leq u \leq t\}$,

$$\sup_{s \leq u \leq t} \left| \eta(u) - \eta(s) - \int_s^u h \circ \eta(v) dv \right| = 0, \quad \mathbb{Q}_x^\beta - p.s.$$

IV-2. Caractérisation

► Théorème

Si

- C.S. existence de la limite fluide.
- il existe un cône ouvert O de $X \setminus \{0\}$,
- $h : O \rightarrow X$ telle que

$$\sup_{x \in H} |r^\beta \Delta(rx) - |x|^{-\beta} h(x)| \rightarrow 0, \quad r \rightarrow +\infty,$$

pour tout compact $H \subseteq O$

Alors pour tout $0 \leq s \leq t$, sur $\{\eta, \eta(u) \in O, s \leq u \leq t\}$,

$$\sup_{s \leq u \leq t} \left| \eta(u) - \eta(s) - \int_s^u h \circ \eta(v) dv \right| = 0, \quad \mathbb{Q}_x^\beta - p.s.$$

► i.e. la limite fluide \mathbb{Q}_x^β charge les fonctions continues qui vérifient

$$\eta(u) = \eta(s) + \int_s^u h \circ \eta(v) dv, \quad s \leq u \leq t,$$

dès lors que $\eta([s, t]) \subset O$.

IV-3. Application : MH à marche aléatoire symétrique —

$$\Delta(r, x) = - \int_{\{y, \pi(rx+y) < \pi(rx)\}} y \left(1 - \frac{\pi(rx+y)}{\pi(rx)} \right) q(y) \lambda(dy).$$

IV-3. Application : MH à marche aléatoire symétrique —

$$\Delta(r, x) = - \int_{\{y, \pi(rx+y) < \pi(rx)\}} y \left(1 - \frac{\pi(rx+y)}{\pi(rx)} \right) q(y) \lambda(dy).$$

► Cond. sur les zones de rejet

$$\{y, \pi(rx+y) < \pi(rx)\} \longrightarrow \{y, \langle y, \ell_\infty(x) \rangle < 0\}, \quad \text{" q-p.p. "}$$

IV-3. Application : MH à marche aléatoire symétrique —

$$\Delta(r, x) = - \int_{\{y, \pi(rx+y) < \pi(rx)\}} y \left(1 - \frac{\pi(rx+y)}{\pi(rx)} \right) q(y) \lambda(dy).$$

► Cond. sur les zones de rejet

$$\{y, \pi(rx+y) < \pi(rx)\} \longrightarrow \{y, \langle y, \ell_\infty(x) \rangle < 0\}, \quad \text{" q-p.p. "}$$

► Cond. sur la décroissance de π

- Cas sur-exponentiel : ($\beta = 0$)

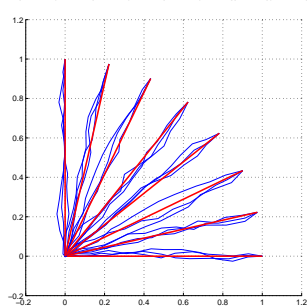
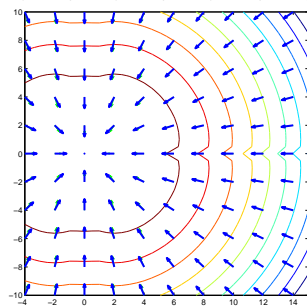
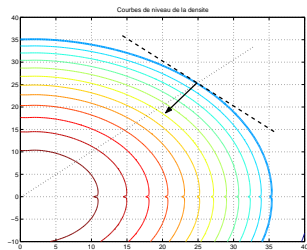
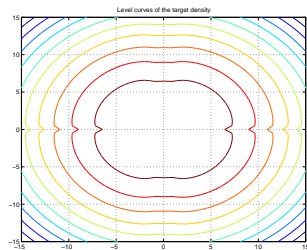
$$\lim_{|x| \rightarrow \infty} \langle |x|^{-1} x, \nabla \ln \pi(x) \rangle \rightarrow -\infty.$$

- Cas sous-exponentiel : ($0 < \beta < 1$)

$$\lim_{|x| \rightarrow \infty} \langle |x|^{-1} x, |\nabla \ln \pi(x)|^{-1} \nabla \ln \pi(x) \rangle < 0.$$

$$\lim_{|x| \rightarrow \infty} |\nabla \ln \pi(x)| = 0.$$

IV-4a. Exemple : Cas sur-exponentiel ($\beta = 0$), $O = X \setminus \{0\}$



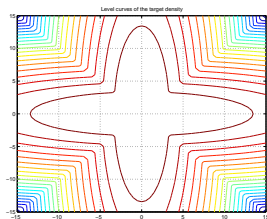
GHaut- Lignes de niveau de π

GBas- Lignes de niveau, Δ et h

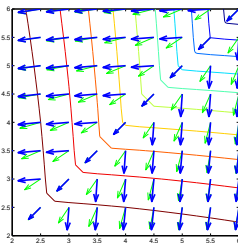
Dhaut- Plan "limite" de la zone de rejet.

DBas- Processus η_x^β et flot de l'ODE.

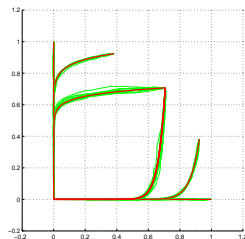
IV-4b. Exemple : Cas sur-exponentiel ($\beta = 0$), $0 \subsetneq X \setminus \{0\}$



Lignes de niveau de π

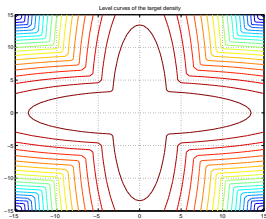


Lignes de niveau, Δ et h

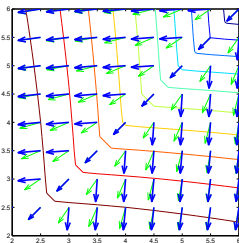


Processus η_x^β et flot de l'ODE.

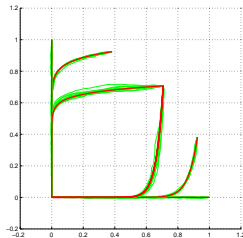
IV-4b. Exemple : Cas sur-exponentiel ($\beta = 0$), $0 \subsetneq X \setminus \{0\}$



Lignes de niveau de π



Lignes de niveau, Δ et h



Processus η_x^β et flot de l'ODE.

\Leftrightarrow Il existe $T_0 < \infty$ tel que pour tout $x \in X$, $|x| = 1$, et toute β -limite fluide Q_x^β ,

$$Q_x^\beta(\eta, \eta([0, T_0]) \cap 0 \neq \emptyset) = 1.$$

V-1. Stabilité des chaînes de Markov _____

↪ Existence d'une probabilité invariante π et convergence vers la loi stationnaire π

► C(N)S d'ergodicité

- ϕ -irréductibilité, apériodicité.
- Il existe $V \geq 1$, $\phi \geq 1$, C ensemble *petite*

$$\mathbb{E}_x [V(\Phi_1)] \leq V(x) - \phi \circ V(x) + b \mathbb{1}_C(x), \quad \sup_C V < \infty.$$

V-1. Stabilité des chaînes de Markov _____

↔ Existence d'une probabilité invariante π et convergence vers la loi stationnaire π

► C(N)S d'ergodicité

- phi-irréductibilité, apériodicité.
- Il existe $V \geq 1$, $\phi \geq 1$, C ensemble *petite*

$$\mathbb{E}_x [V(\Phi_1)] \leq V(x) - \phi \circ V(x) + b \mathbb{1}_C(x), \quad \sup_C V < \infty.$$

► Selon le rappel " $\phi \circ V$ "

$\phi = 1$	$\pi(X) < \infty,$	$\mathbb{E}_x [g(\Phi_n)] \rightarrow \pi(g), g \leq 1.$
ϕ concave	$\pi(\phi \circ V) < \infty$	$\mathbb{E}_x [g(\Phi_n)] \rightarrow \pi(g), g \leq f + \text{vitesse sous-géom.}$
$\left. \begin{array}{l} \phi(x) = \lambda x \\ 0 < \lambda < 1 \end{array} \right\}$	$\pi(V) < \infty,$	$\mathbb{E}_x [g(\Phi_n)] \rightarrow \pi(g), g \leq V + \text{vitesse géom.}$

V-2. Stabilité : limite fluide/ Chaîne de Markov_____

► Stabilité des β -limites fluides $\exists T > 0$ et $0 < \rho < 1$, tels que

$$\forall x, |x| = 1, \quad \mathbb{Q}_x^\beta \left(\eta, \inf_{[0, T]} |\eta(\cdot)| \leq \rho \right) = 1.$$

V-2. Stabilité : limite fluide/ Chaîne de Markov_____

► Stabilité des β -limites fluides $\exists T > 0$ et $0 < \rho < 1$, tels que

$$\forall x, |x| = 1, \quad \mathbb{Q}_x^\beta \left(\eta, \inf_{[0, T]} |\eta(\cdot)| \leq \rho \right) = 1.$$

► Théorème Si

- chaîne irréductible, apériodique, compacts sont petites.
- CS existence de la β -limite fluide.
- Stabilité des β -limites fluides.

Alors ergodicité polynomiale,

$$(n+1)^{q-1} \sup_{\{f, |f| \leq 1 + |x|^{p-q(1+\beta)}\}} |\mathbb{E}_x[f(\Phi_n)] - \pi(f)| \rightarrow 0, \quad 1 \leq q \leq p/(1+\beta).$$

V-2. Stabilité : limite fluide/ Chaîne de Markov_____

► Stabilité des β -limites fluides $\exists T > 0$ et $0 < \rho < 1$, tels que

$$\forall x, |x| = 1, \quad \mathbb{Q}_x^\beta \left(\eta, \inf_{[0, T]} |\eta(\cdot)| \leq \rho \right) = 1.$$

► Théorème Si

- chaîne irréductible, aperiodique, compacts sont petites.
- CS existence de la β -limite fluide.
- Stabilité des β -limites fluides.

Alors ergodicité polynomiale,

$$(n+1)^{q-1} \sup_{\{f, |f| \leq 1 + |x|^{p-q(1+\beta)}\}} |\mathbb{E}_x[f(\Phi_n)] - \pi(f)| \rightarrow 0, \quad 1 \leq q \leq p/(1+\beta).$$

► Grandes lignes de la démonstration

(i) Stab de la LF \rightarrow drift géom. pour la chaîne de noyau $\mathbb{P}_x(\Phi_{\tau_{\Phi_0}} \in \cdot)$

$$\tau_{\Phi_0} = \lfloor T|\Phi_0|^{1+\beta} \rfloor \wedge \sigma, \quad \sigma = \inf\{k, |\Phi_k| \leq \rho|\Phi_0|\}.$$

(ii) On en déduit une cond. de drift polynomial pour la chaîne initiale.

V-3. Stabilité : ODE / Limite fluide _____

$$\begin{cases} \dot{\mu} = h(\mu), \\ \mu(0) = x \end{cases} \longrightarrow \mu(\cdot; x) \text{ sur } [0, T_x].$$

La limite fluide est stable dès que

► **Cas 1** : $O = X \setminus \{0\}$

$$\exists T, \rho \quad \forall x, |x| = 1, \quad \inf_{[0, T]} |\mu(\cdot; x)| \leq \rho < 1.$$

V-3. Stabilité : ODE / Limite fluide _____

$$\begin{cases} \dot{\mu} = h(\mu), \\ \mu(0) = x \end{cases} \longrightarrow \mu(\cdot; x) \text{ sur } [0, T_x].$$

La limite fluide est stable dès que

► **Cas 1** : $\mathcal{O} = \mathcal{X} \setminus \{0\}$

$$\exists T, \rho \quad \forall x, |x| = 1, \quad \inf_{[0, T]} |\mu(\cdot; x)| \leq \rho < 1.$$

► **Cas 2** : $\mathcal{O} \neq \mathcal{X} \setminus \{0\}$ et $\mathbb{Q}_x^\beta(\eta, \eta([0, T_0]) \cap \mathcal{O} \neq \emptyset) = 1$.

$$\forall K > 0, \exists T_K, \rho_K \quad \forall x \in \mathcal{O}, |x| \leq K, \quad \inf_{[0, T_K \wedge T_x]} |\mu(\cdot; x)| \leq \rho_K < 1.$$

Conclusion ---

$$\Phi_{k+1} = \Phi_k + \Delta(\Phi_k) + \text{increment de martingale.}$$

Normalisation \longrightarrow Limite fluide ("squelette" de la chaîne).

Conclusion ---

$$\Phi_{k+1} = \Phi_k + \Delta(\Phi_k) + \text{increment de martingale.}$$

Normalisation \longrightarrow Limite fluide ("squelette" de la chaîne).

► Chaînes / Limite fluide

- (i) Etude des chaînes de Markov \longrightarrow Etude de la **limite fluide**.
- (ii) Stabilité des chaînes de Markov \longrightarrow Stabilité des limites fluides.

Conclusion ---

$$\Phi_{k+1} = \Phi_k + \Delta(\Phi_k) + \text{increment de martingale.}$$

Normalisation \longrightarrow Limite fluide ("squelette" de la chaîne).

► Chaînes / Limite fluide

- (i) Etude des chaînes de Markov \longrightarrow Etude de la **limite fluide**.
- (ii) Stabilité des chaînes de Markov \longrightarrow Stabilité des limites fluides.

► Limite fluide / O.D.E.

- (i) Caractérisation du support des limites fluides \longrightarrow **O.D.E.** associée.
- (ii) Stabilité des limites fluides \longrightarrow Stabilité de l'O.D.E.

Perspectives _____

- ▶ Applications des techniques limite fluides, sur des modèles où les techniques "drift" ne s'appliquent pas.

- ▶ Normalisation en $\beta = 1$: \leftrightarrow limites diffusives. Théorie à faire.

Perspectives ---

Exploiter les limites fluides pour choisir les paramètres de mise en oeuvre des algorithmes de simulation (méthodes adaptatives par ex.)

- ▶ Algorithme hybride :
 - choix d'une direction $i \in \{1, \dots, d\}$, avec proba ω_i
 - HM sur la droite réelle, dans la direction i .

Perspectives ---

Exploiter les limites fluides pour choisir les paramètres de mise en oeuvre des algorithmes de simulation (méthodes adaptatives par ex.)

- ▶ Algorithme hybride :
 - choix d'une direction $i \in \{1, \dots, d\}$, avec proba ω_i
 - HM sur la droite réelle, dans la direction i .
- ▶ Paramètres de mise en oeuvre :
 - les poids $\omega_1, \dots, \omega_d$,
 - les lois de proposition q_i sur \mathbb{R} (par ex. variance σ_i^2 si gaussienne).

Perspectives

Exploiter les limites fluides pour choisir les paramètres de mise en oeuvre des algorithmes de simulation (méthodes adaptatives par ex.)

- ▶ Algorithme hybride :
 - choix d'une direction $i \in \{1, \dots, d\}$, avec proba ω_i
 - HM sur la droite réelle, dans la direction i .
- ▶ Paramètres de mise en oeuvre :
 - les poids $\omega_1, \dots, \omega_d$,
 - les lois de proposition q_i sur \mathbb{R} (par ex. variance σ_i^2 si gaussienne).
- ▶ Le champs limite $\lim_{r \rightarrow \infty} \Delta(r x)$ est donné par loi de proposition gaussienne

$$\lim_{r \rightarrow \infty} \Delta_i(r x) = \frac{1}{\sqrt{2\pi}} \omega_i \sigma_i \operatorname{sign} \left(\lim_{r \rightarrow \infty} \frac{\nabla_i \ln \pi(r x)}{|\nabla \ln \pi(r x)|} \right)$$

Perspectives

Exploiter les limites fluides pour choisir les paramètres de mise en oeuvre des algorithmes de simulation (méthodes adaptatives par ex.)

- ▶ Algorithme hybride :
 - choix d'une direction $i \in \{1, \dots, d\}$, avec proba ω_i
 - HM sur la droite réelle, dans la direction i .
- ▶ Paramètres de mise en oeuvre :
 - les poids $\omega_1, \dots, \omega_d$,
 - les lois de proposition q_i sur \mathbb{R} (par ex. variance σ_i^2 si gaussienne).
- ▶ Le champs limite $\lim_{r \rightarrow \infty} \Delta(r x)$ est donné par loi de proposition gaussienne

$$\lim_{r \rightarrow \infty} \Delta_i(r x) = \frac{1}{\sqrt{2\pi}} \omega_i \sigma_i \operatorname{sign} \left(\lim_{r \rightarrow \infty} \frac{\nabla_i \ln \pi(r x)}{|\nabla \ln \pi(r x)|} \right)$$

Donc les limites fluides sont dégénérées, et chargent des droites ... jusqu'à atteindre les hyperplans définis par

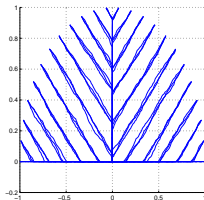
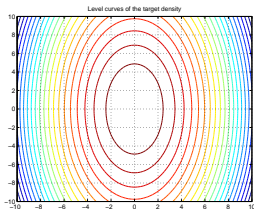
$$\lim_{r \rightarrow \infty} \frac{\nabla_i \ln \pi(r x)}{|\nabla \ln \pi(r x)|} = 0.$$

Perspectives

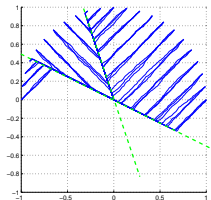
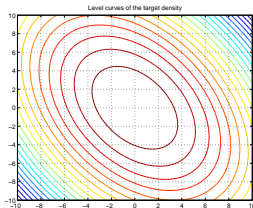
Densité cible gaussienne :

$$\ln \pi(x) = -0.5 x' \Gamma^{-1} x$$

Hyperplans limite donnés par $e_i' \Gamma^{-1} x = 0$.

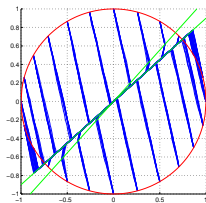
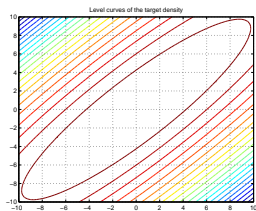


$$\Gamma = \text{diag}(1, 4)$$

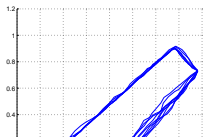
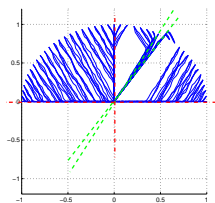
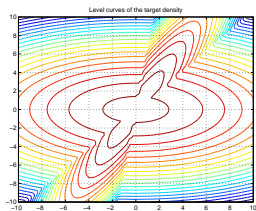


$$\Gamma^{-1} = \begin{bmatrix} 3 & 1 \\ 1 & 2 \end{bmatrix}$$

Perspectives



$$\Gamma^{-1} \propto \begin{bmatrix} 1 & -0.9 \\ -0.9 & 1 \end{bmatrix}$$



New Directions in Monte Carlo Methods

25 - 29 Juin 2007, France.

<http://adapmc07.enst.fr>

- ▶ 5 cours
 - ▶ *Recent Methodological advances in Monte Carlo methods*, C. Andrieu (Bristol, GB)
 - ▶ *Particle Methods for Stochastic Engineering and Physics*, P. Del Moral (Nice, France)
 - ▶ *Monte Carlo methods for molecular simulation*, B. Jourdain (ENPC, France)
 - ▶ *Coupling and Convergence for MCMC (I)*, G.O. Roberts (Lancaster, GB)
 - ▶ *Coupling and Convergence for MCMC (II)*, J.S. Rosenthal (Toronto, Canada)
- ▶ Sessions contribuées